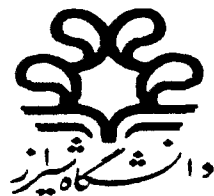


بِسْمِ اللّٰهِ الرَّحْمٰنِ الرَّحِيْمِ

۸۷/۱/۱۰۷۰۲۸

۸۷/۱۲/۱۱



دانشکده مهندسی

پایان نامه کارشناسی ارشد در رشته مهندسی مکانیک (تبدیل انرژی)

بررسی انتقال حرارت پایدار
(Micro Heat-pipe) در یک آرایه از لوله گرمائی مایکرو

توسط

علی ذاھدی نژاد

استاد راهنما

دکتر علی اکبر گلشنان

۸۷/۱/۱۰۷۰۲۸

لطفاً بخطابات مکمل ممکن باشید
شنبه ۱۳۸۷

شهریور ماه ۱۳۸۷

۱۰۸۹۰۳

به نام خدا

بررسی انتقال حرارت پایدار
در یک آرایه از لوله گرمائی مایکرو (Micro Heat-Pipe)

به وسیله‌ی:

علی زاهدی نژاد

پایان نامه

ارائه شده به تحصیلات تکمیلی دانشگاه به عنوان بخشی
از فعالیتهای تحصیلی لازم برای اخذ درجه کارشناسی ارشد

در رشته‌ی:

مهندسی مکانیک (تبدیل انرژی)

از دانشگاه شیراز

شیراز

جمهوری اسلامی ایران

ارزیابی شده توسط کمیته پایان نامه یا درجه: عالی

دکتر علی اکبر گلنšان، استادیار بخش مهندسی مکانیک (ویس کمیته)

دکتر خسرو جعفریبور، دانشیار بخش مهندسی مکانیک

دکتر امید ابوعلی، استادیار بخش مهندسی مکانیک

شهریور ماه ۱۳۸۷

سپاسگزاری

اکنون که به یاری خدا این پایان نامه به انجام رسیده، بر خود لازم می داشم از پشتیبانی، توجه، راهنمائی، زحمات و همکاری های ارزشمند استاد ارجمند، جناب آقای دکتر علی اکبر گلشن، که همواره نهایت تلاش خود را در اتمام این پایان نامه نمودنده، صمیمانه قدر دانی و سپاسگزاری نمایم. همچنین لازم می داشم، از ایشان بخاطر دقت در انتخاب موضوع، در اختیار قرار دادن کتابهای ارزشمند و ارائه راهنمائی های کلیدی که در پیشبرد مراحل دشوار پایان نامه بسیار ارزشمند واقع شده است، صمیمانه تشکر نمایم و برای ایشان توفیق الهی را از خداوند متعال خواهانم.

بر خود لازم می داشم از همکاری، دقت نظر و زحمات ارزشمند اساتید مشاور محترم، جناب آقای دکتر خسرو جعفریور و جناب آقای دکتر امید ابوعلی، که در تمامی مراحل انجام پایان نامه، همواره با لطف و توجه ما را یاری نمودنده، صمیمانه تشکر و قدر دانی نمایم. همچنین لازم می داشم، از ایشان بخاطر توجه و ارائه راهنمائی های مؤثر، صمیمانه تشکر نمایم و برای ایشان توفیق الهی را از خداوند متعال خواهانم.

بطور یقین مقالات و آدرسهای اینترنتی ارزشمندی که جناب آقای دکتر س.ب. سبحان از انسستیتو پلی تکنیک رنسیلر (امریکا)، در اختیار من قرار دادند، باعث دلگرمی و امید به انجام این پایان نامه شد و توجه ایشان را عامل مهمی در به ثمر رسیدن تلاشهای انجام شده در این پایان نامه می داشم. همچنین لازم می داشم از اساتید محترم، جناب آقای دکتر محمد هادی اکبری، جناب آقای دکتر همایون امداد و جناب آقای دکتر شهرام جعفری که اطلاعات ارزشمندی را در زمینه های مختلف در اختیار من قرار دادند، تشکر و قدردانی نمایم. در انتهای از زحمات بی وقفه پدر، مادر و برادرانم سعید و پرهام که در تمام مراحل زندگی همواره راهنمای من بوده اند، تشکر و قدر دانی خود را اعلام نموده و برای ایشان آرزوی موفقیت و سلامت دارم.

چکیده

بررسی انتقال حرارت پایدار در یک آرایه از لوله گرمائی مایکرو (Micro Heat-Pipe)

به وسیله‌ی:

علی زاهدی نژاد

در این پایان نامه، با استفاده از روش عددی، انتقال حرارت در نواحی جامد یک "Micro heat-pipe" بررسی شده و نرخ انتقال حرارت شعاعی در دیوارهای "Micro heat-pipe"، با استفاده از اطلاعات تجربی موجود که مربوط به اندازه گیری دما در دیوارهای "Micro heat-pipe" هستنده بسته آمده است، انتقال حرارت و جریان سیال درون "Micro heat-pipe" ها توسط یک مدل عددی یک بعدی پیشگوئی شده و مشخصات انتقال حرارتی سیال دوفازی، بسته آمده اند. مدل عددی یک بعدی به گونه‌ای است که شعاع انجنا در سطح مشترک هلالی مایع-بخار، توزیع سرعت محوری، توزیع فشار و شار جرمی ناشی از فرایندهای چگالش و تبخیر قابل محاسبه باشد. همچنین اثرات لزجت سیال، وابستگی خواص ترموفیزیکی سیال کاری با دما، اصول ترمودینامیکی تغییر فاز و اثرات تعییرات دانسیته در فاز بخار، در آن در نظر گرفته شده اند. بعلاوه با استفاده از روابط تجربی، اثر انتقال ممنتم در اصطکاک بین فازها در مدل عددی منظور شده است. فاز مایع تراکم ناپذیر فرض شده و در فاز بخار، ارتباط افت فشار، دانسیته، دما و فشار اشباع، با در نظر گرفتن معادله حالت و اصل بقاء جرم، مدلسازی گردیده است. با استفاده از این مدل یک بعدی، توزیع سرعت محوری در فازهای مایع و بخار بصورت خطی بسته آمده است. بعلاوه منحنی های بدون بعد توزیع فشار در هر دو فاز مایع و بخار، مشابهت بسیار خوبی با نتایج مدلهای عددی که تا کنون ارائه شده اند داشته است. اصلاحات انجام شده نسبت به مدلهای یک بعدی دیگر بصورتی است که حل معادله لایاس-یانگ که منجر به یک مسئله مرز آزاد می شود، با اصل بقاء جرم سازگار باشد. همچنین نرخ انتقال جرم در فرایندهای تبخیر و چگالش، با در نظر گرفتن انتقال حرارت هدایت محوری، بصورت دقیقتری محاسبه شده است. بعلاوه، انتقال حرارت هدایت محوری در یک ناحیه باریک جامد در اطراف "Micro heat-pipe" مدلسازی شده است. اطلاعات تجربی می تواند بصورت شرایط مرزی در دیوار خارجی ناحیه باریک جامد بکار رود تا با مدل عددی یک بعدی کوپل شود علاوه بر تصحیحات انجام شده، مدل عددی یک بعدی قادر است بطور دقیق موقعیت نواحی مختلف یک "Micro heat-pipe" (بخشهای تبخیر گنده، آدیباتیک و چگالنده) را مشخص سازد.

فهرست مطالب

	عنوان
	فصل اول: مقدمه
۱	۱-۱-۱- معرفی "heat-pipe"
۲	۱-۱-۱-۱- مزایها و معایب "heat-pipe" در مقایسه با جامدھای رسانا
۳	۱-۱-۱-۲- انتخاب سیال کاری برای یک "heat-pipe"
۴	۱-۱-۱-۳- اثر متقابل بین پدیده های اصلی در یک "heat-pipe"
۵	۱-۲-۱- معرفی "micro heat-pipe"
۶	۱-۲-۱-۱- کارکرد "micro heat-pipe"
۷	۱-۲-۱-۲- موقیت "micro heat-pipe" در صنعت الکترونیک در جهان
۸	۱-۲-۱-۳- اهمیت "micro heat-pipe" در خنکسازی قطعات الکترونیکی
۹	۱-۲-۱-۴- سایر کاربردهای "micro heat-pipe"
۱۰	۱-۲-۱-۵- محدودیتهای "micro heat-pipe"
۱۱	۱-۲-۱-۵-۱- حد پیوستگی بخار
۱۲	۱-۲-۱-۵-۲- حد جوشش
۱۳	۱-۲-۱-۵-۳- حد موئینگی
۱۴	۱-۲-۱-۵-۴- حد لزجت
۱۵	۱-۲-۱-۵-۵- حد صوتی
۱۶	۱-۲-۱-۵-۶- حد مقاومت اصطکاکی
۱۷	۱-۳-۱- جایگاه "heat-pipe" در میان روشهای خنکسازی که در صنعت الکترونیک استفاده می شوند
۱۸	۱-۳-۱-۱- طرحهای خنکسازی قطعات الکترونیکی
۱۹	۱-۳-۱-۱-۱- خنکسازی یک طرفه
۲۰	۱-۳-۱-۱-۲- خنکسازی دوطرفه
۲۱	۱-۳-۱-۱-۳- خنکسازی درونی
۲۲	۱-۲-۳-۱- روشهای خنکسازی قطعات الکترونیکی
۲۳	۱-۲-۳-۲- ارزیابی روشهای خنکسازی قطعات الکترونیکی
۲۴	۱-۲-۳-۳- ارزیابی سایر روشهای خنکسازی قطعات الکترونیکی
۲۵	۱-۳-۴-۱- تجهیزات تبرید
۲۶	۱-۳-۴-۲- خنکسازی "Thermionic"
۲۷	۱-۳-۴-۳-۱- انتقال حرارت هدایت با استفاده از قطعات جامد کار گذاشته شده
۲۸	۱-۴-۱- آرایه های "micro heat-pipe"

عنوان

صفحه

۲۲	- آرایه هایی که سطح مقطع مثلثی، مستطیلی و یا ذوزنقه ای دارند
۲۳	- آرایه هایی از اینجا دار
۲۴	- آرایه هایی که از رشته های باریک تشکیل شده اند
۲۵	- آرایه هایی از لایه پلیمر تشکیل شده اند
۲۶	- آرایه هایی که از لایه "micro heat-pipe" که شیارهای شعاعی دارند
۲۷	- فرایند حک کاری برای ایجاد آرایه های "micro heat-pipe"
۲۸	- سیلیکان و دی-سیلیکان به عنوان مواد اصلی در فرایند حک کاری
۲۹	- فرایند حک کاری مرتبط
۳۰	- فرایند حک کاری خشک
۳۱	- معیارهای عملکرد "micro heat-pipe"

فصل دوم: مروری بر تحقیقات گذشته و اهداف پژوهش حاضر

۳۱	- شروع علم "heat-pipe"
۳۱	- تاریخچه "MHP"
۳۲	- بررسی های آزمایشی که در زمینه "MHP" انجام شده اند
۳۳	- آزمایش برای بررسی تأثیر رگه های ایجاد شده در سیلیکان، در حالتی که سیال کاری آب، اتانول یا متانول بوده است
۳۴	- آزمایش به منظور مقایسه عملکرد آرایه های "MHP" که از دو روش ماشینکاری و حک کاری لایه سیلیکان حاصل شده اند
۳۵	- آزمایش به منظور مشاهده حرکت سیال دوفازی و اندازه گیری دما در طول "MHP"
۳۶	- بررسی های عددی که در زمینه "MHP" انجام شده اند
۳۷	- بررسی های عددی یک بعدی
۳۸	- بررسی عددی یک بعدی که توسط "Longtin" در [۱۷] ارائه شده است
۳۹	- بررسی عددی یک بعدی که در [۱۵] و [۱۸] توسط "Sobhan" ارائه شده است
۴۰	- سایر بررسی های عددی یک بعدی که روی سطح مقطع های مختلف "MHP" انجام شده است
۴۱	- بررسی های عددی دو بعدی
۴۲	- بررسی عددی یک بعدی که تبخیر در بخش تبخیر کننده
۴۳	- بررسی های انتقال حرارت تبخیر در بخش تبخیر کننده
۴۴	- بررسی های انتقال حرارت در محاسبه دمای سطح مشترک T_i
۴۵	- ضریب انتقال حرارت چگالش در بخش چگالنده
۴۶	- بررسی های عددی سه بعدی
۴۷	- بررسی های تحلیلی که در زمینه "MHP" انجام شده اند

عنوان

صفحه

۵۵	۱-۵-۲- محاسبه نرخ تبخیر بر اساس تغییرات فشار و دما در سطح مشترک دو فاز
۵۷	۲-۵-۲- محاسبه نرخ تبخیر بر اساس دمای سطح مشترک
۵۸	۳-۵-۲- بررسی تحلیلی برای تعیین مقدار بهینه سیال درون "MHP"
۵۹	۴-۵-۲- بررسی تحلیلی به منظور محاسبه ضریب انتقال حرارت چگالش در بخش چگالنده "MHP"
۶۱	۵-۵-۲- بررسی های انجام شده در ارتباط با اصل ناپیوستگی فشار
۶۲	۶-۲- اهداف پژوهش حاضر

فصل سوم: معادلات حاکم

۶۴	۱-۳- اهمیت معادلات حاکم
۶۵	۲- روش مرجع [۱۵] در معادلات حاکم
۶۷	۳- روش حل معادلات حاکم در [۱۸]
۶۸	۴- فرم تصحیح شده معادلات حاکم یک بعدی
۶۹	۱-۴-۳- معادلات مکمل
۶۹	۲-۴-۳- معادلات کمکی
۷۰	۳-۵- معادلات حاکم در روش عددی سه بعدی
۷۱	۴- روش حل معادلات حاکم یک بعدی
۷۲	۱-۶-۳- مجزاسازی معادله منتم
۷۵	۱-۶-۳- بررسی قواعد کلی در مجزاسازی معادله منتم
۷۶	۲-۶-۳- مقایسه حل عددی معادله منتم و حل تحلیلی آن
۷۶	۱-۲-۶-۳- مقایسه نتایج در حالتی که "Source term" برابر صفر باشد
۷۶	۲-۲-۶-۳- مقایسه نتایج در حالتی که "Source term" صفر نباشد و فواصل گره های شبکه تغییر کند
۷۹	۳-۲-۶-۳- مقایسه نتایج در حالتی که "Source term" یکتابع خطی از متغیر ϕ باشد
۸۰	۳-۳-۶-۳- استفاده از الگوریتم "SIMPLE" به منظور کوپلینگ سرعت و فشار
۸۰	۱-۳-۶-۳- معادلات تصحیح سرعت و تصحیح فشار
۸۱	۳-۴-۶-۳- مجزاسازی معادله انرژی فازهای مایع و بخار
۸۳	۳-۵-۶-۳- ارزیابی نتایج حل معادله انرژی فاز مایع
۸۷	۳-۶-۶-۳- معادله انرژی "TFM"
۸۸	۳-۷-۶-۳- مجزاسازی معادله انرژی "TFM"
۸۹	۳-۸-۶-۳- مجزاسازی معادله انرژی یک بعدی ناحیه جامد
۹۱	۳-۹-۶-۳- الگوریتم حل معادلات حاکم

فصل چهارم: نتایج مدلسازی عددی

۹۹	۱-۴- نتایج بررسی عددی یک بعدی آرایه "MHP"
----	---

عنوان

صفحه

۱-۱-۱-۴	مقایسه نتایج مدلسازی عددی یک بعدی "MHP" با نتایج آزمایشی که در بخش (۱-۳-۲) شرح داده شده است
۹۹	
۱-۲-۱-۴	مقایسه نتایج، با نتایج روش عددی یک بعدی که در [۱۵] و [۱۸] ارائه شده است
۱۰۴	
۱-۳-۱-۴	نتایجی که تشکیل شدن ناحیه آدیاباتیک را در "MHP" نشان داده اند
۱۱۲	
۱-۴-۱-۴	بررسی تأثیر رسانائی گرمائی جامد در توزیع دما و انتقال حرارت در آرایه "MHP"
۱۱۷	
۱-۴-۲-۴	بررسی اثر تغییر پارامترهای فیزیکی و لبسته به دمای انتقال حرارت و جریان سیال درون "MHP"
۱۱۸	
۱-۴-۳-۴	بررسی تأثیر گرمای نهان تبیخیر، h_{fg} در انتقال حرارت و جریان سیال درون "MHP"
۱۲۴	
۱-۴-۴-۴	بررسی اثر تقویت رسانائی حرارتی جسم جامد، در توزیع دما در آن
۱۲۶	
۱-۴-۵-۴	بررسی عددی سه بعدی انتقال حرارت در یک آرایه "MHP" و مقایسه نتایج با آزمایشی که در بخش (۱-۳-۲) شرح داده شده است
۱۳۰	
۱-۳-۱-۴	مشخصات هندسی و مواد بکار رفته در آرایه "MHP"
۱۳۰	
۱-۳-۲-۴	شرایط مرزی
۱۳۲	
۱-۳-۳-۴	اطلاعاتی که در آزمایش بدست آمده اند
۱۳۳	
۱-۴-۳-۴	هندسه مدل و خصوصیات شبکه
۱۳۴	
۱-۴-۳-۴	خصوصیات انتقال حرارتی مواد جامد
۱۳۵	
۱-۴-۶-۴	بررسی آرایه در حالتی که درون "MHP" ها سیال کاری قرار نداشته باشد
۱۳۵	
۱-۷-۳-۴	انطباق اطلاعات عددی بر نتایج آزمایشی برای تعیین پارامترهای مجھول
۱۳۶	
۱-۸-۳-۴	بررسی توزیع دما در مناطق مختلف آرایه "MHP" با در نظر گرفتن سیال کاری درون آن
۱۳۹	
۱-۹-۳-۴	محاسبه انتقال حرارت تابش از سطح شیشه
۱۴۳	
۱-۱۰-۴-۴	مدلسازی عددی یک بعدی جریان و انتقال حرارت درون "MHP" ها
۱۴۴	
۱-۱۱-۴-۴	موانع و مشکلات در مدلسازی عددی سه بعدی جریان درون "MHP" ها
۱۴۸	
۱-۴-۴-۴	نتیجه گیری
۱۵۰	
۱-۵-۴	پیشنهادات
۱۵۲	

پیوستها

پیوست (۱): معرفی و اثبات روش‌های عددی که مورد استفاده قرار گرفته اند	
۱۵۴	
پیوست (۲): اصول ترمودینامیکی تغییر فاز	
۱۶۱	
پیوست (۳): محاسبه ضرایب هندسی سطح، بر اساس انحنای سطح مشترک مایع-بخار	
۱۶۶	
پیوست (۴): اثبات معادلات حاکم	
۱۷۳	
پیوست (۵): مدل عددی "TFM"	
۲۰۴	
پیوست (۶): مدلسازی عددی فرایند متعادل شدن فشار بخار اشباع، در محفظه محصور "MHP"	
۲۱۰	
پیوست (۷): محاسبه سرعت سیال، در سطح مشترک فازهای مایع و بخار	
۲۱۶	
پیوست (۸): تأثیر کیفیت شبکه در نتایج حل عددی یک بعدی	
۲۲۰	

عنوان

صفحه

۲۲۶	پیوست (۹): محاسبه ضریب انتقال حرارت شعاعی
۲۲۸	پیوست (۱۰): ضریب انتقال حرارت جابجایی بین فازها
۲۳۰	پیوست (۱۱): روش‌های محاسبه ترمهای اصطکاکی، در معادلات ممنتم
۲۴۰	پیوست (۱۲): روش‌های بکار رفته در کنترل همگرایی حل
۲۴۶	پیوست (۱۳): انتقال اطلاعات بین نرم افزارهای MATLAB و FLUENT

فهرست منابع

۲۵۱

فهرست جدول ها

صفحه	شماره عنوان
۳۳	۱-۲ مشخصات آرایه های "MHP".
۶۷	۱-۳ مراحل حل معادلات حاکم در [۱۸].
۷۲	۲-۳ تعریف متغیرهایی که در معادله ممتنم بکار رفته اند.
۸۴	۳-۳ تعریف متغیرهایی که در معادله ممتنم بکار رفته اند.
۹۵	۴-۳ مراحل حل معادلات حاکم.
۱۰۰	۱-۴ خواص ترموفیزیکی اتانول در محدوده دمایی ${}^{\circ}C$ ۵۰ تا ${}^{\circ}C$ ۱۵۰.
۱۰۴	۲-۴ ابعاد آرایه "MHP" که در [۱۵] و [۱۸] ارائه شده اند.
۱۱۹	۳-۴ خواص ترموفیزیکی آب در فشار اتمسفر.
۱۲۹	۴-۴ حرارت عبور کرده از مقطع عمودی $x=2,5 \text{ mm}$ ، از جسم جامد مسطح و جسم جامد درون آن. علامت منفی، بیانگر راستای منفی x برای انتقال حرارت (خالص) از سطوح است.
۱۳۱	۵-۴ ابعاد دامنه محاسباتی.
۱۳۳	۶-۴ نام مرزها و شرایط مرزی گرمائی آنها.
۱۳۵	۷-۴ خصوصیات مواد جامد، که در ساختار آرایه مورد استفاده قرار گرفته اند.
۲۲۴	پ-۸-۱ ارتباط متغیرها در شبکه تطبیق یافته و شبکه اولیه.
۲۳۳	پ-۱۱-۱ شرایط مرزی برای جریان دو بعدی که در شکل (پ-۱۱-۱) نشان داده شده است.
۲۳۴	پ-۱۱-۲ شرایط مرزی برای جریان دو بعدی که در شکل (پ-۱۱-۱) نشان داده شده است.
۲۳۵	پ-۱۱-۳ شرایط مرزی برای سرعت سطح آزاد مابع.

فهرست شکل ها

صفحه	شماره عنوان
۱	۱-۱ طرح عمومی یک "heat-pipe" [۱].
۲	۲-۱ اثر متقابل بین پدیده های اصلی در "micro heat-pipe" [۲].
۴	۳-۱ طرح کلی "micro heat-pipe" با سطح مقطع مثلثی. ناحیه تماس مایع- جامد با α و ناحیه تماس مایع- بخار با β نشان داده شده [۱].
۵	۴-۱ نواحی مختلف مایعی که روی دیوار جامد "micro heat-pipe" توسعه یافته است. در این شکل، بخشی از یک مقطع عرضی "micro heat-pipe" نشان داده شده است [۴].
۶	۵-۱ جریان "Thermocapillary" [۴].
۷	۶-۱ بیشترین و کمترین شارگرمائی که در سالهای مختلف از تراشه های "high performance" برداشته شده است [۵].
۸	۷-۱ استفاده از "micro heat-pipe" در سیستم بازیافت گرما در فضایمای "Transhab" [۶].
۱۰	۸-۱ طرح جریان در بخش های تبخیر کننده (a)، آدیاباتیک (b) و چگالنده (c) یک "micro heat-pipe" که گرما از لبه سمت چپ به آن منتقل شده است [۸].
۱۱	۹-۱ طرحها مختلفی که در خنکسازی قطعات الکترونیکی بکار می روند خنکسازی درونی (شکل سمت راست)، خنکسازی دو طرفه (شکل وسط) و خنکسازی یک طرفه (شکل سمت چپ) [۹].
۱۷	۱۰-۱ محدوده شار گرما در روش های رایج انتقال حرارت [۹].
۱۷	۱۱-۱ موقعیت و نسب سیستم خنکسازی در یک "Gamer PC" که با یک "CPU" و تراشه های "dual GPU" کار می کند. در شکل سمت چپ تجهیزاتی که در سیستم گردش مایع بکار رفته، نشان داده شده است [۱۱].
۱۹	۱۲-۱ خنکسازی یک وسیله الکترونیکی با استفاده از یک "heat-pipe" [۹].
۲۰	۱۳-۱ اجزاء وسیله "Thermionic" [۹].
۲۱	۱۴-۱ کار گذاشتن قطعات نازک جامد، بین لایه های قطعات الکترونیکی تولید کننده گرما [۹].
۲۲	۱۵-۱ نمونه ای از آرایه "micro heat-pipe" با سطح مقطع مستطیلی. این آرایه در داخل یک لوله گرمائی ایجاد شده است [۹].
۲۳	۱۶-۱ آرایه های اینجا دار [۹].
۲۳	۱۷-۱ ساختار آرایه انعطاف پذیری که از رشته های باریک تشکیل شده است. جزئیات این آرایه "micro heat-pipe" در تصویر سمت چپ نشان داده شده است [۱۲].
۲۴	۱۸-۱ دو طرح مختلف از "micro heat-pipe" هایی که از یک لایه پلیمر تشکیل شده اند. شیار های مستطیلی در شکل سمت راست و شیار های مثلثی در شکل سمت چپ نمایش داده شده اند [۱۲].
۲۵	۱۹-۱ ساختار لایه های تشکیل دهنده یک آرایه ساعی "micro heat-pipe".
۲۶	۲۰-۱ عملکرد ایده آل "micro heat-pipe" هایی که شیار ساعی دارند [۹].

শماره عنوان

صفحه

- | | |
|------|--|
| ۲۱-۱ | مراحل اصلی تکنولوژی حک کاری. (a) مرحله تابش اشعه X (b) ایجاد طرح مورد نظر در لایه "Photoresist" (c) ایجاد طرح در لایه پوشاننده، (d) حک کاری "isotropic" (e) و (f) حک کاری "anisotropic" [۱۳]. |
| ۲۲-۱ | حک کاری پلاسما در سطح زاویه دار. (a) شیار اکسید شده، نسبت به بردار عمود بر صفحه <001> در زاویه ۵۴/۷ درجه قرار دارد. (b) بعد از حک کاری دی-اکسید سیلیکان، تنها بخش‌هایی از دی-اکسید سیلیکان که در راستای بمباران یونی قرار گرفته اند، حک کاری شده اند. در تصویر سمت راست، صفحات بلور سیلیکان مشخص شده اند [۱۳]. |
| ۱-۲ | سطح مقطع مثلثی "MHP" در طرح اول [۱۳]. |
| ۲-۲ | تأثیر حضور و عدم حضور سیال کاری در "MHP" بر توزیع دمای محوری "substrate". نواحی که با رنگ روشن مشخص شده اند، بیانگر محدوده حضور "MHP" می‌باشند شار گرمای ورودی برابر $W/2$ است و راستای محوری با z نشان داده شده است [۱۳]. |
| ۳-۲ | سطح مقطع مثلثی کانالها در طرح سه لایه ای، سطح مقطع رگه‌ها بصورت مثلثهای کوچکی است که در پائین ترین لایه قرار می‌گیرند [۱۳]. |
| ۴-۲ | سطح مقطع مستطیلی ماشینکاری شده (تصویر سمت راست) و سطح مقطع مثلثی که از فرایند حک کاری بدست آمده است (تصویر سمت چپ) [۱۵]. |
| ۵-۲ | نمایش دو نمای مختلف از تجهیزات آزمایشی [۱۵]. |
| ۶-۲ | رسم نتایج آزمایشی که دمای محوری لایه سیلیکان را در حالت دائمی نشان می‌دهند. سیال کاری مтанول بوده است. دمای چاه حرارتی ۱۵ درجه سانتیگراد بوده است و توان ورودی $W/4$ در نظر گرفته شده است [۱۵]. |
| ۷-۲ | رسم نتایج آزمایشی که رسانایی گرمای مؤثر لایه سیلیکان را در حالت دائمی برای شار گرمای ورودی نشان می‌دهند. سیال کاری مтанول بوده است. دمای چاه حرارتی ۱۵ درجه سانتیگراد بوده است [۱۵]. |
| ۸-۲ | سطح مقطع مثلثی "MHP" که با استفاده از یک لایه نازک نیترید پوشاننده شده است [۸]. |
| ۹-۲ | طرح آرایه "MHP" و تصویر واقعی آن. به منظور نصب تجهیزات اندازه گیری، عرض لایه شیشه نسبت به عرض لایه سیلیکان بیشتر است [۱۶] و [۸]. |
| ۱۰-۲ | سطح مقطع طرح اصلاح شده برای آرایه "MHP" [۱۶]. |
| ۱۱-۲ | تفییرات دما نسبت به گرمای ورودی. منبع تولید حرارت در لب ابتدائی "MHP" ها قرار گرفته است و دمای محیط (بر حسب کلوین) با T_0 نشان داده شده [۱۶]. |
| ۱۲-۲ | شرایط مرزی حرارتی، برای آرایه "MHP" (تصویر سمت راست) و نمایش بخشی از سطح مقطع آرایه (تصویر سمت چپ). سطح مقطع "MHP" ها به شکل مثلث متساوی الاضلاع است [۱۵]. |
| ۱۳-۲ | سرعت فازهای مایع (تصویر سمت راست) و بخار (تصویر سمت چپ)، در مقابل طول بدون بعد شده "MHP". این نتایج مربوط به شار گرمای ورودی $2.5 W/cm^2$ و ضریب انتقال حرارت جابجایی $K = 120 W/m^2$ در بخش چگالنده "MHP" می‌باشند [۱۸]. |

شماره عنوان

صفحه

- ۱۴-۲ سرعت بدون بعد شده فازهای مایع (تصویر سمت راست) و بخار (تصویر سمت چپ)، در مقابله طول بدون بعد شده "MHP". این نتایج مربوط به شار گرمای ورودی 2.5 W/cm^2 و ضریب انتقال حرارت جابجایی $K = 120 \text{ W/m}^2 \cdot \text{K}$ "MHP" می باشند [۱۵].
- ۱۵-۲ توزیع دمای محوری (تصویر سمت راست) و توزیع فشار (تصویر سمت چپ) در فازهای مایع و بخار، در حالت دائمی، در مقابله طول بدون بعد شده "MHP". این نتایج مربوط به شار گرمای ورودی 2.5 W/cm^2 و ضریب انتقال حرارت جابجایی $K = 120 \text{ W/m}^2 \cdot \text{K}$ در بخش چگالنده "MHP" می باشند [۱۸].
- ۱۶-۲ توزیع دمای محوری (تصویر سمت راست) و توزیع شعاع انحنای سطح مشترک هلالی فازهای مایع و بخار (تصویر سمت چپ)، در حالت دائمی، در مقابله طول بدون بعد شده "MHP". این نتایج مربوط به شار گرمای ورودی 2.5 W/cm^2 (برای تصویر سمت چپ) و ضریب انتقال حرارت جابجایی $K = 120 \text{ W/m}^2 \cdot \text{K}$ در بخش چگالنده "MHP" می باشند [۱۵].
- ۱۷-۲ تغییرات رسانایی گرمائی مؤثر (بدون بعد) "MHP" با شار گرمای ورودی (تصویر سمت راست) و ضریب انتقال حرارت جابجایی، در بخش چگالنده "MHP" (تصویر سمت چپ). این نتایج مربوط به ضریب انتقال حرارت جابجایی $K = 160 \text{ W/m}^2 \cdot \text{K}$ در بخش چگالنده "MHP" (برای تصویر سمت راست) و شار گرمای ورودی 4.5 W/cm^2 (برای تصویر سمت چپ) می باشند [۱۵].
- ۱۸-۲ توزیع فشار مایع و بخار در یک "MHP" با سطح مقطع چهار ضلعی. در حالت دائمی اختلاف فشار بین فازها در ابتدای تبخیر کننده "MHP" در حدود 500 Pa است [۱۹].
- ۱۹-۲ تغییرات مساحت سطح مقطع جریانهای مایع و بخار (تصویر سمت راست) و توزیع فشار آنها (تصویر سمت چپ)، در مقابله طول بدون بعد شده "MHP". این نتایج برای حالت دائمی هستند و مربوط به یک "MHP" است که سطح مقطع ذوزنقه ای دارد [۲۰].
- ۲۰-۲ تغییرات شعاع سطح مشترک مایع-بخار در حالت بدون بعد (تصویر سمت راست) و توزیع فشار در فاز مایع (تصویر سمت چپ)، در مقابله طول بدون بعد شده "MHP". این نتایج برای حالت دائمی هستند و مربوط به دو "MHP" مشابه با شکل سطح مقطع مستطیلی و مثلثی می باشند [۲۱].
- ۲۱-۲ تأثیر ناحیه آبیلاتیک در توزیع سرعت محوری فاز مایع (تصویر سمت راست) و فاز بخار (تصویر سمت چپ)، در مقابله طول بدون بعد شده "MHP". این نتایج برای حالت دائمی هستند و مربوط به یک "MHP" با شکل سطح مقطع مثلثی می باشند [۲۱].
- ۲۲-۲ تأثیر زاویه تماس در توزیع محوری شعاع سطح مشترک مایع-بخار در مقابله طول بدون بعد شده "MHP" (تصویر سمت راست) در تصویر سمت چپ، شار حرارت در دیوار "MHP"، در مقابله طول بدون بعد شده "MHP" رسم شده است [۲۱].
- ۲۳-۲ تأثیر تغییرات (پنج درصدی) ضریب لزجت سیال (تصویر سمت راست) و کشش سطحی سیال (تصویر سمت چپ)، در شعاع بدون بعد شده سطح مشترک مایع-بخار [۲۲].
- ۲۴-۲ توزیع فشار در فازهای مایع و بخار (تصویر سمت چپ)، در مقابله طول بدون بعد شده "MHP". این نتایج برای حالت دائمی هستند و مربوط به یک "Wire bonded MHP" می باشند [۲۳].

شماره عنوان

صفحه

- ۲۵-۲ توزیع سرعت محوری در فاز بخار (تصویر سمت راست) و توزیع دما در آرایه "MHP" (تصویر سمت چپ)، در مقابل طول بدون بعد شده "MHP". این نتایج برای حالت دائمی هستند و مربوط به یک "Wire bonded MHP" می باشند [۲۳].
- ۵۰ ۲۶-۲ هندسه شیار و نواحی مختلف لایه مایع [۲۴].
- ۵۱ ۲۷-۲ ضریب انتقال حرارت جانبی و دمای دیوار بیرونی، در راستای محوری شیار [۲۴].
- ۵۱ ۲۸-۲ هندسه دو بعدی که توسط "Stephan" و "Busse" بررسی شده است.
- ۵۲ ۲۹-۲ منحنی ضخامت لایه مایع، شار گرما (در دیوار "MHP") و دمای سطح مشترک در [۲۵] "micro region".
- ۵۳ ۳۰-۲ خطوط دما ثابت در دیوار لوله گرمائی مایکرو و در فاز مایع، شکل (b) برای حالت $T_{iv} = T_{sat}$ و انحنای ثابت سطح مشترک رسم شده است (اختلاف دما بین دو خط دما ثابت برابر $0,0202\text{ K}$ است) [۲۵].
- ۵۳ ۳۱-۲ مدل دو بعدی به منظور محاسبه عدد ناسلت متوسط در چگالنده "MHP".
- ۵۴ ۳۲-۲ مقادیر پهینه مایع درون "MHP" به عنوان تابعی از توان ورودی، دمای کارکرد 380 K بوده است [۳۰].
- ۵۸ ۳۳-۲ چگالش بخار اشباع در مایکرو کانال مثالی [۳۱].
- ۵۹ ۳۴-۲ طرح بکار رفته برای لایه مایع در مرجع [۳۱].
- ۵۹ ۳۵-۲ تغییرات متوسط ضریب انتقال حرارت در هر سطح مقطع، در طول کانال [۳۱].
- ۶۱ ۳۶-۲ دانسیتۀ لایه نازک آرگون (مایع) در دمای کاهش یافته برابر با $0,57\text{ K}$ [۳۲].
- ۶۲ ۱-۳ نمایش حجم کنترل سرعت و حجم کنترل اسکالر، در شبکه "Staggered".
- ۷۳ ۲-۳ حجم کنترل سرعت، پیرامون نقطه P .
- ۷۳ ۳-۳ جریان یک بعدی با سرعت ثابت u .
- ۷۶ ۴-۳ شبکه سرعت با حجم کنترلهای مساوی.
- ۷۶ ۵-۳ مقایسه نتایج حل عددی با حل تحلیلی در یک حالتی که "source term" صفر باشد.
- ۷۸ ۶-۳ مقایسه نتایج حل عددی با حل تحلیلی، تعداد گره های شبکه سرعت برابر 30 انتخاب شده.
- ۷۹ ۷-۳ مقایسه نتایج روش عددی "MATLAB" با روش عددی حل معادله ممنتم، گره های شبکه با فواصل مساوی انتخاب شده اند و تعداد گره های شبکه سرعت برابر 150 است.
- ۸۰ ۸-۳ حلقة تكرار الگوريتم "SIMPLE".
- ۸۱ ۹-۳ نتایج حل معادله ارزی برای فاز مایع در یک شبکه با فواصل مساوی، تعداد تکرارهای حل برابر 5 بوده است.
- ۸۷ ۱۰-۳ الگوريتم حل معادلات حاکم، در حالتی که معادله ارزی در ناحیه جامد متوسط "MATLAB" بررسی شده است، شماره گذاری ها براساس جدول است (۴-۳).
- ۹۳ ۱۱-۳ الگوريتم حل معادلات حاکم و انتقال اطلاعات بین MATLAB و FLUENT شماره گذاری ها براساس جدول است (۴-۳).
- ۹۴ ۱-۴ تأثیر حضور و عدم حضور سیال کاری در "MHP"، بر توزیع دمای محوری "substrate". شار گرمای ورودی برابر W است.
- ۱۰۱

شماره عنوان

صفحه

- ۲-۴ رسم باقیمانده ها در طول تکرارهای حل. باقیمانده معادله لاپلاس-یانگه ω ، باعلامت مثلث مشخص شده بعد از سی تکرار، روش کنترل همگرایی، اعمال شده است.
- ۳-۴ سرعت تبخیر و چگالش در سطح مشترک فازها، شار حرارتی که از دیوار "Substrate" منتقل یافته، در شکل پائینی رسم شده است.
- ۴-۴ سرعت محوری فازهای مایع و بخار، شار حرارتی که از دیوار "Substrate" منتقل یافته، در شکل پائینی رسم شده است.
- ۵-۴ مقایسه شار حرارت در دیوار یک "MHP" نسبت به شار حرارت در دیوار بیرونی سیلیکان، نواحی تبخیر کننده آدیباتیک و چگالنده از طریق تغییر علامت شار گرماء، قابل تشخیص می باشند.
- ۶-۴ ضریب انتقال حرارت شعاعی که مطابق رابطه (۱-۴) تعریف شده است.
- ۷-۴ بخشی از آرایه سه بعدی "MHP". بدلیل تغییرات کوچک دما در راستای عرضی، مدلسازی یک بعدی یک ناحیه باریک از آرایه که در راستای \times قرار دارد، امکان پذیر است.
- ۸-۴ سرعت محوری بدون بعد شده فاز مایع، تغییرات سرعت محوری نه تنها در بخش تبخیر کننده بلکه در بخش چگالنده نیز بصورت خطی است.
- ۹-۴ سرعت محوری بدون بعد شده فاز بخار، تغییرات سرعت محوری نه تنها در بخش تبخیر کننده بلکه در بخش چگالنده نیز بصورت خطی است.
- ۱۰-۴ مقایسه توزیع فشار بدون بعد شده با نتایج مرجع [۱۸].
- ۱۱-۴ تأثیر اصطکاک بین فازها در توزیع فشار در فاز بخار، زمانی که شار حرارت ورودی به آرایه "MHP" ها برابر $W/16$ باشد.
- ۱۲-۴ تأثیر اصطکاک بین فازها در توزیع فشار در فاز بخار، زمانی که شار حرارت ورودی به آرایه "MHP" ها برابر $W/12$ باشد.
- ۱۳-۴ نتایج استفاده از معادله حالت گاز ایده آل و مقایسه با نتایج "Sobhan" که در مرجع [۱۸] ارائه شده است. شار حرارت ورودی به آرایه "MHP" ها برابر $W/16$ است.
- ۱۴-۴ منحنی سرعت فازهای مایع و بخار، این نتایج مربوط به شار گرمای ورودی $W/25$ و ضریب انتقال حرارت جابجایی $K = 120 \text{ W/m}^2$ در بخش چگالنده "MHP" می باشند.
- ۱۵-۴ مقایسه توزیع دمای محوری در آرایه ای که فاقد سیال کاری است با توزیع دما در آرایه ای که در آن 21% از حجم هر "MHP" با آب پر شده است (تصویر سمت راست)، در تصویر سمت چپ توزیع دما در آرایه ای که با آب پر شده است، بصورت جداگانه نشان داده شده این نتایج مربوط به گرمای ورودی $W/16$ ، $W/25$ و $W/35$ در بخش تبخیر کننده و ضریب انتقال حرارت جابجایی $K = 120 \text{ W/m}^2$ در بخش چگالنده "MHP" می باشند.
- ۱۶-۴ توزیع دمای محوری در آرایه "MHP" برای مقادیر مختلف حرارت ورودی. این نتایج مربوط به ضریب انتقال حرارت جابجایی $K = 120 \text{ W/m}^2$ در بخش چگالنده "MHP" می باشند [۱۵].
- ۱۷-۴ توزیع فشار در فازهای مایع و بخار (تصویر سمت راست) و توزیع شعاع لحتای سطح مشترک هلالی فازهای مایع و بخار (تصویر سمت چپ)، این نتایج مربوط به شار گرمای ورودی $W/16$ ، $W/25$ و $W/35$ در بخش تبخیر کننده آرایه و ضریب انتقال حرارت جابجایی $K = 120 \text{ W/m}^2$ در بخش چگالنده "MHP" می باشند.

شماره عنوان

صفحه

- ۱۸-۴ مقایسه توزیع فشار در فازهای مایع و بخار با نتایج مرجع [۱۵] این نتایج مربوط به شار گرمای ورودی $W = ۰.۶ \text{ W}$ ، ۰.۷ W ، ۰.۸ W در بخش تبخیر کننده آرایه و ضریب انتقال حرارت جابجایی $120 \text{ W/m}^2 \text{ K}$ در بخش چگالنده آن می باشند.
- ۱۹-۴ سرعت عبور فاز بخار از سطح مشترک مایع-بخار در فرایندهای تبخیر و چگالش.
- ۲۰-۴ سرعت محوری فازهای مایع و بخار در ناحیه آدیباتیک "MHP" سرعت تقریباً ثابت می ماند در فاز مایع مقداری از تغییر سرعت محوری بدلیل تغییر در سطح مقطع جریان مایع است.
- ۲۱-۴ تشکیل ناحیه آدیباتیک در "MHP".
- ۲۲-۴ توزیع شار حرارت در دیوار آرایه "MHP" (تصویر سمت راست) و شار حرارت در دیوار "MHP" (تصویر سمت چپ). مساحت زیر سطح هر کدام از منحنی ها برابر صفر است این موضع بالاتر از نرژی را تأیید می کند شار حرارت ورودی به آرایه $W = ۰.۷ \text{ W}$ است و $۱.۰ \text{ درصد از گرمای ورودی، توسط چهل عدد "MHP" به چاه حرارتی انتقال یافته است.}$
- ۲۳-۴ نوسانات ناشی از تبخیر در ناحیه ای که در حد واسطه چگالنده و تبخیر کننده ظاهر شده است (تصویر سمت راست). در تصویر سمت چپ توزیع ضریب انتقال حرارت شعلی، در راستای محوری رسم شده است. شار حرارت ورودی به آرایه $W = ۰.۸ \text{ W}$ است و $۱.۰ \text{ درصد از گرمای ورودی، توسط چهل عدد "MHP" به چاه حرارتی انتقال یافته است.}$
- ۲۴-۴ توزیع دما در آرایه "MHP". شار حرارت ورودی به آرایه $W = ۰.۷ \text{ W}$ است. نسبت پرپودن از سیال کاری، برای هر "MHP" 21% است و 10% از کل گرمای ورودی، توسط چهل عدد "MHP" به چاه حرارتی انتقال یافته است.
- ۲۵-۴ تأثیر شار حرارت ورودی به بخش تبخیر کننده آرایه، بر توزیع دمای محوری آرایه "MHP". نسبت پرپودن از سیال کاری، برای هر "MHP" 21% است و 10% از کل گرمای ورودی، توسط چهل عدد "MHP" به چاه حرارتی انتقال یافته است.
- ۲۶-۴ شار حرارتی که از طریق هدایت حرارتی در هر فاز انتقال یافته است. بدلیل اندازه بزرگ گرادیان دما در $x = ۲۳ \text{ mm}$ و $x = ۳۸ \text{ mm}$ ، هدایت حرارتی در این نقطه بسیار زیاد است.
- ۲۷-۴ رسم شعاع اتحادنا در سطح مشترک فازهای مایع و بخار (تصویر سمت راست)، در تصویر سمت چپ، ضریب خالی بودن "MHP" رسم شده است.
- ۲۸-۴ تأثیر رسانائی گرمائی جامد در توزیع دمای محوری در آرایه "MHP".
- ۲۹-۴ تغییرات فشار اشباع بخار آبیه با دما. با افزایش دما، فشار اشباع فاز بخار به شدت افزایش می یابد.
- ۳۰-۴ تغییرات رسانائی گرمائی بخار آب با دما معادله ارائه شده برای محدوده دمایی $K = ۳۰۰ \text{ K}$ تا $K = ۹۰۰ \text{ K}$ صادق است.
- ۳۱-۴ اثر وابستگی پارامترهای $C_{p,\ell}$ ، k_ℓ ، μ_ℓ و ρ_ℓ به دمه در سرعت محوری فازهای مایع و بخار در یک "MHP". شار حرارت ورودی به بخش تبخیر کننده آرایه برابر $W = ۰.۷ \text{ W}$ است. شرایط مدلسازی عددی مشابه مرجع [۱۸] انتخاب شده است. دانسیته فاز بخار، در هر دو حالت باما و فشار مرتبط است.

شماره عنوان

صفحه

- ۳۲-۴ تغییرات دانسیتۀ فاز مایع (آب) در راستای محوری "MHP" (تصویر سمت راست). در تصویر سمت چپ، مقادیر ضریب لزجت فاز مایع در راستای محوری "MHP" رسم شده است. شار حرارت ورودی به بخش تبخیر کننده آرایه برابر $W = 3/5$ است. شرایط مدلسازی عددی مشابه مرجع [۱۸] انتخاب شده است.
- ۱۲۱ ۳۳-۴ تغییرات رساننگی گرمائی فاز بخار در راستای محوری "MHP" (تصویر سمت راست). سرعت فاز مایع در سطح مشترک مایع بخار در تصویر سمت چپ رسم شده است. شار حرارت ورودی به بخش تبخیر کننده آرایه برابر $W = 3/5$ است. شرایط مدلسازی عددی مشابه مرجع [۱۸] انتخاب شده است.
- ۱۲۲ ۳۴-۴ اثر واپستگی پارامترهای $C_{p,\ell}$, k_v , μ_ℓ و ρ_ℓ به دما، در شار حرارت از دیوار آرایه و دیوار "MHP" (تصویر سمت راست). توزیع دمای محوری آرایه در تصویر سمت چپ، رسم شده است. شار حرارت ورودی به بخش تبخیر کننده آرایه برابر $W = 3/5$ است. شرایط مدلسازی عددی مشابه مرجع [۱۸] انتخاب شده است.
- ۱۲۳ ۳۵-۴ تغییرات ضریب انتقال حرارت شعاعی در راستای محوری "MHP" (تصویر سمت راست). در تصویر سمت چپ، دانسیتۀ فاز بخار برای دو حالتی که خواص $C_{p,\ell}$, k_v , μ_ℓ و ρ_ℓ ثابت یا واپسنه به دما باشند، رسم شده است. دانسیتۀ فاز بخار، در هر دو حالت با دما و فشار مرتبط است. شار حرارت ورودی به بخش تبخیر کننده آرایه برابر $W = 3/5$ است. شرایط مدلسازی عددی مشابه مرجع [۱۸] انتخاب شده است.
- ۱۲۴ ۳۶-۴ رسم باقیمانده ها تا تکرار ۱۵۰. در تصویر سمت راست، خواص سیال (به غیر از دانسیتۀ فاز بخار) ثابت است. در تصویر سمت چپ در اثر تغییرات خواص سیال با دما، نوسانات باقیمانده ها بیشتر است. شار حرارت ورودی به بخش تبخیر کننده آرایه برابر $W = 3/5$ است. شرایط مدلسازی عددی مشابه مرجع [۱۸] انتخاب شده است.
- ۱۲۵ ۳۷-۴ تأثیر گرمائی نهان تبخیر h_{fg} ، بر شار حرارت از دیوار "MHP" و دیوار آرایه "MHP" (تصویر سمت راست). در تصویر سمت چپ، توزیع دمای محوری در آرایه "MHP" رسم شده است. شار حرارت ورودی به بخش تبخیر کننده آرایه برابر $W = 3/5$ است. شرایط مدلسازی عددی مشابه مرجع [۱۸] انتخاب شده است.
- ۱۲۶ ۳۸-۴ تأثیر گرمائی نهان تبخیر h_{fg} ، بر شار حرارت از دیوار "MHP" و دیوار آرایه "MHP". شار حرارت در مقیاس لگاریتمی و برای بخش چگالنده "MHP" رسم شده است. شار حرارت ورودی به بخش تبخیر کننده آرایه برابر $W = 3/5$ است. شرایط مدلسازی عددی مشابه مرجع [۱۸] انتخاب شده است.
- ۱۲۷ ۳۹-۴ تأثیر گرمائی نهان تبخیر h_{fg} ، بر سرعت چگالش فاز بخار (تصویر سمت راست) و ضریب انتقال حرارت شعاعی (تصویر سمت چپ). در شکلهای پائینی، منحنی ها در مقیاس لگاریتمی و برای بخش چگالنده "MHP" رسم شده اند. شار حرارت ورودی به بخش تبخیر کننده آرایه برابر $W = 3/5$ است. شرایط مدلسازی عددی مشابه مرجع [۱۸] انتخاب شده است.
- ۱۲۸ ۴۰-۴ نمایش بخش‌های مختلف هندسه دو بعدی. در این شکل، نوع مرزهای که مورد استفاده قرار گرفته اند، مشخص شده است.
- ۱۲۹ ۴۱-۴ شبکه دو بعدی، که قبل از تطبیق شبکه بر اساس گرادیان دما، طراحی شده است.

شماره عنوان

صفحه

- ۴۲-۴ تأثیر افزایش رسانائی حرارتی جسم تقویت کننده هدایت حرارتی، در توزیع دمای محوری یک جامد مسطح در تصاویر (الف) و (پ)، رسانائی گرمائی جسم تقویت کننده هدایت حرارتی، به ترتیب برابر $100 k_{copper}$ و $10 k_{copper}$ است.
- ۴۳-۴ رسم توزیع دمای محوری در صفحه تقاضن جسم جامد با افزایش رسانائی حرارتی جسم تقویت-کننده هدایت حرارت، دمای محوری یکنواخت تر شده است.
- ۴۴-۴ رسم توزیع دمای محوری در لبه های کناری جسم جامد و در خط مرکزی آن، شکستگی منحنی توزیع دمای در لبه ها دیده نمی شود.
- ۴۵-۴ شار حرارتی که از دیوار جسم تقویت کننده حرارتی عبور کرده است.
- ۴۶-۴ شبکه ای که بر اساس گردابیان دما تطبیق یافته است بدلیل ثابت بودن دما در چاه حرارتی گردابیان دما صفر است و شبکه ریز نشده است.
- ۴۷-۴ پارامترهایی که در مشخص شدن ابعاد طولی و عرضی دامنه محاسباتی بکار رفته اند.
- ۴۸-۴ پارامترهایی که در مشخص شدن ابعاد عمقی دامنه محاسباتی بکار رفته اند [۱۶].
- ۴۹-۴ نامگذاری مرزهای کناری در نمای بالا (سمت راست) و نمای پایین (سمت چپ).
- ۵۰-۴ نامگذاری سایر مرزهایی که در آرایه "MHP" در نظر گرفته شده اند.
- ۵۱-۴ هندسه ای که توسط "GAMBIT" ایجاد شده است. بدلیل تقارن، نیمی از دامنه محاسباتی در نظر گرفته شده است.
- ۵۲-۴ نمایش یک مقطع عرضی از شبکه سه بعدی که در نواحی جامد ایجاد شده است.
- ۵۳-۴ موقعیت "MHP#1" در آرایه "MHP". سطح مقطع "MHP" بصورت مثلث مدلسازی شده است.
- ۵۴-۴ نمایش شبکه در سطح مشترک شیشه پیرکس و سیلیکان.
- ۵۵-۴ نمایش شبکه در مجاورت "MHP#1" در سطح مشترک شیشه پیرکس و سیلیکان. در این تصویر نواحی تطبیق یافته نشان داده شده است.
- ۵۶-۴ نتایج حل عددی در آرایه سه بعدی "MHP". این نتایج برای حالتی که "MHP" ها فاقد سیال کاری باشند، بدست آمده است. ضریب انتقال حرارت جابجایی در تمام سطوح آرایه برابر $5 \text{ W/m}^2 - K$ انتخاب شده است.
- ۵۷-۴ مقایسه نتایج حل عددی، با اندازه گیری های آزمایشی در آرایه سه بعدی، در موقعیت "MHP#1". این نتایج برای حالتی که "MHP" ها فاقد سیال کاری باشند، بدست آمده است. ضریب انتقال حرارت جابجایی در تمام سطوح آرایه برابر $K = 5 \text{ W/m}^2 - K$ انتخاب شده است.
- ۵۸-۴ خطوط دما ثابت در حالتی که "MHP" ها فاقد سیال کاری باشند، اختلاف دمای بین هر دو خط دما ثابت $4^\circ C$ است. حرارت ورودی برابر $Q = 1,9 \text{ W}$ و ضریب انتقال حرارت جابجایی (طبیعی) در سطح آرایه برابر مقدار $K = 5 \text{ W/m}^2 - h$ انتخاب شده است.
- ۵۹-۴ مقایسه نتایج حل عددی، با اندازه گیری های آزمایشی در آرایه سه بعدی، در موقعیت "MHP#1". این نتایج برای حالتی که "MHP" ها فاقد سیال کاری باشند، بدست آمده است. ضریب انتقال حرارت جابجایی در تمام سطوح آرایه برابر $K = 1 \text{ W/m}^2 - K$ انتخاب شده است.

شماره عنوان

صفحه

- ۶۰-۴ مقایسه نتایج حل عددی، با اندازه گیری های آزمایشی در موقعیت "MHP#1". این نتایج برای حالتی که "MHP" ها فاقد سیال کاری باشند بسته آمده است. ضریب انتقال حرارت جابجایی در تمام سطوح آرایه برابر $K = 1 \text{ W/m}^2$ است و ضریب انتقال حرارت جابجایی (اجباری) در سطح چاه حرارتی، $K = 1000 \text{ W/m}^2$ است.
- ۱۳۹ ۶۱-۴ اطباق منحنی ها و درونیای اطلاعات تجربی برای تعیین توزیع دما در راستای محوری "MHP" ها.
- ۱۴۰ ۶۲-۴ خطوط دما ثابت در سطح مشترک شیشه پیرکس و سیلیکان. حرارت ورودی برابر 19 W است.
- ۱۴۰ ۶۳-۴ خطوط دما ثابت در سطح خارجی شیشه پیرکس. حرارت ورودی برابر $W = 19$ است.
- ۱۴۱ ۶۴-۴ توزیع دمای محوری در صفحه نقارن سیلیکان و در محل "MHP#1". حرارت ورودی برابر $W = 19$ است.
- ۱۴۱ ۶۵-۴ توزیع دمای محوری در لبه کناری سیلیکان (Silicon Edge#2) و در محل "MHP#1". حرارت ورودی برابر $W = 19$ است.
- ۱۴۲ ۶۶-۴ توزیع دمای محوری در لبه کناری سیلیکان و در محل "MHP#1".
- ۱۴۲ ۶۷-۴ نسبت شار حرارت انتقال یافته از طریق جابجایی طبیعی به شار حرارت انتقال یافته از طریق تابش در سطح شیشه پیرکس. حرارت ورودی برابر $W = 19$ است.
- ۱۴۳ ۶۸-۴ توزیع شار حرارت در امتداد صفحه نقارن آرایه، در سطح خارجی شیشه پیرکس. حرارت ورودی برابر $W = 19$ است.
- ۱۴۴ ۶۹-۴ شار حرارت ورودی به دیوار "MHP#1". علت نوسانات، ایراد در کاربرد شرط مرزی دما ثابت است. در واقعیت دما در راستای عرضی "MHP" ثابت نیست.
- ۱۴۴ ۷۰-۴ شار حرارت ورودی به "MHP" یک بعدی. این مقادیر با میانگین گیری در هر مقطع عرضی بدست آمده اند.
- ۱۴۵ ۷۱-۴ توزیع سرعت محوری در فاز مایع در "MHP#1". حرارت ایجاد شده در منبع حرارتی برابر $Q = 19 \text{ W}$ در نظر گرفته شده است.
- ۱۴۶ ۷۲-۴ توزیع سرعت محوری در فاز بخار در "MHP#1". حرارت ایجاد شده در منبع حرارتی برابر $Q = 19 \text{ W}$ در نظر گرفته شده است.
- ۱۴۶ ۷۳-۴ تغییرات شعاع سطح مشترک هلالی مایع-بخار. با استفاده از کمیت T_1 ، موقعیت خط تماس در دیوار "MHP" قابل تشخیص است. $Q = 19 \times 10^{-5} \text{ W}$ در نظر گرفته شده است.
- ۱۴۷ ۷۴-۴ تغییرات "Void Fraction" در راستای محوری "MHP#1". حرارت ایجاد شده در منبع حرارتی برابر $Q = 19 \text{ W}$ در نظر گرفته شده است.
- ۱۴۷ ۷۵-۴ رسم باقیمانده ها و تغییرات حرارت خالص ورودی به "MHP#1". حرارت ایجاد شده در منبع حرارتی، برابر $Q = 19 \text{ W}$ است.
- ۱۴۸ ۷۶-۴ شبکه در بخشی از انتهای چگالنده "MHP". شبکه در گوش ها ریزتر است.
- ۱۴۹ ۷۷-۴ موقعیت اولیه فاز مایع سطح تماس اولیه فاز مایع و بخار کاملاً مسطح است.
- ۱۴۹ ۷۸-۴ موقعیت سطح مشترک فاز مایع در کنار دیوار در حالت دائمی. بدلیل خطای عددی، سطح مشترک در حالت دائمی نوسان دارد.